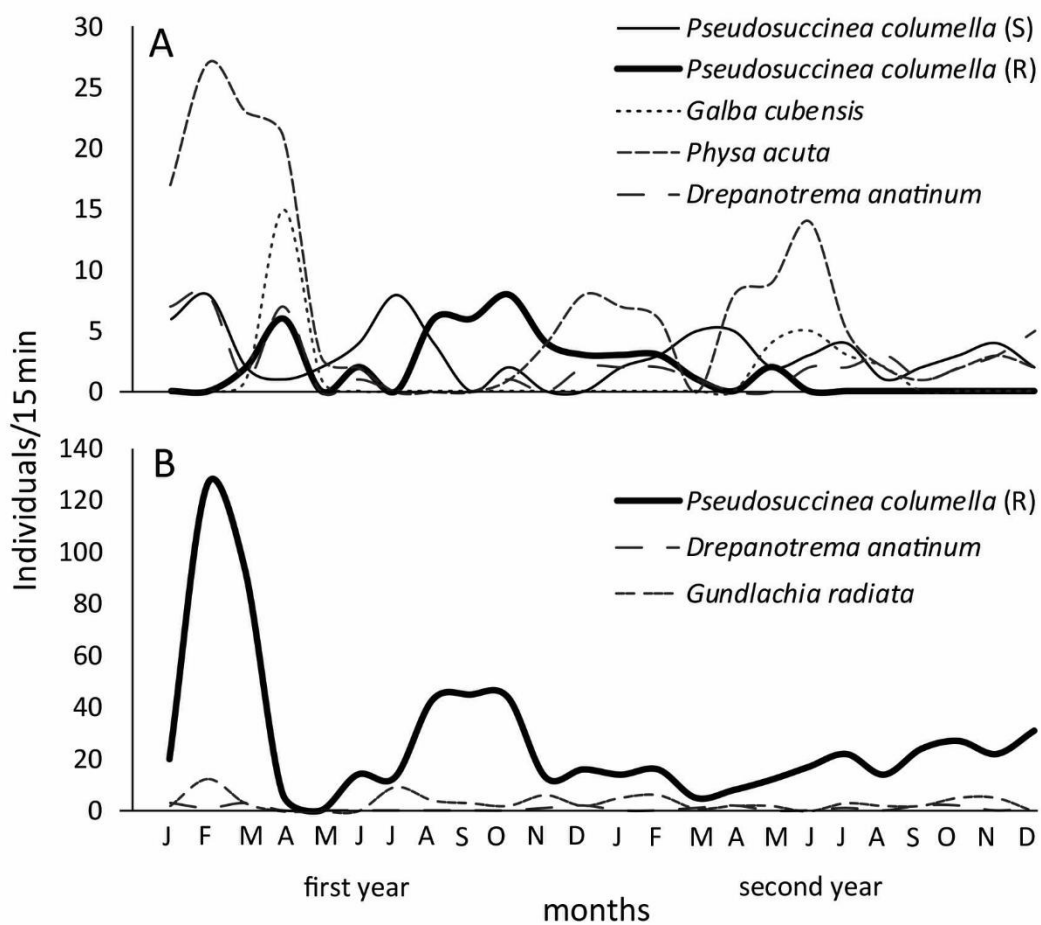


Patterns of distribution, population genetics and ecological requirements of field-occurring resistant and susceptible *Pseudosuccinea columella* snails to *Fasciola hepatica* in Cuba

Annia Alba^{a,b,1}, Antonio A. Vázquez^{a,c,1}, Jorge Sánchez^a, Manon Lounnas^c, Jean-Pierre Pointier^d, Sylvie Hurtrez-Boussès^{c,e}, Benjamin Gourbal^b



Supplementary figure 1. Monthly relative abundances of the freshwater mollusc species in the La Coca locality where resistant (R) and susceptible (S) *Pseudosuccinea columella* populations live in sympatry. Two sites were sampled: A) Negrines. B) Segundo Potrero.

Supplementary table S1.

Pairwise F_{ST} values between populations of *Pseudosuccinea columella* in Cuba (populations: LC = La Coca, BA = Babiney, PL = Parque Lenin, RA = Río Arimao, RH = Río Hondo, RM = Río Manaquita, RY = Río Yayabo, TP = Tío Pancho, V7 = Vaquería 7, VG = Vegas Grandes, AR = Arroyo, PM = Puesto de Mando, AN = El Antojo, AZ = El Azufre, GB = Guillén y Boca, RC = Río Central, MA = Matadero Aves, PI = Pilón, SJM = San Juan y Martínez).

	LC	BA	IPA	PL	RA	RH	RM	RY	TP	V7	VG	AR	PM	AN	AZ	GB	RC	MA	PI	SJM
LC	0,000																			
BA	0,452*	0,000																		
IPA	0,548*	0,694*	0,000																	
PL	0,598*	0,730*	0,001	0,000																
RA	0,321*	0,564	0,187	0,301	0,000															
RH	0,560	0,693	0,045	0,009	0,272	0,000														
RM	0,501*	0,664*	0,108	0,222	0,095	0,221	0,000													
RY	0,548*	0,697*	0,248	0,338	0,289	0,307	0,294	0,000												
TP	0,616*	0,748*	0,010	-0,023	0,344	0,149	0,271	0,353	0,000											
V7	0,524*	0,686*	0,020	0,120	0,141	0,168	-0,039	0,283	0,167	0,000										
VG	0,497	0,664	0,072	0,209	0,105	0,250	-0,107	0,272	0,314	-0,116	0,000									
AR	0,623*	0,771*	0,090	0,033	0,460	0,161	0,432	0,440	-0,007	0,386	0,587	0,000								
PM	0,552*	0,709*	0,006	-0,037	0,310	0,054	0,281	0,318	-0,041	0,224	0,385	NA	0,000							
AN	0,552*	0,709*	0,006	-0,037	0,310	0,054	0,281	0,318	-0,041	0,224	0,385	NA	NA	0,000						
AZ	0,301	0,590*	0,856*	0,871*	0,742*	0,862	0,842*	0,823*	0,934*	0,872*	0,873	0,932*	0,905*	0,905*	0,000					
GB	0,617*	0,766*	0,085	0,029	0,449	0,153	0,421	0,431	-0,008	0,374	0,573	NA	NA	NA	0,930*	0,000				
RC	0,521*	0,685*	-0,036	-0,004	0,203	0,046	0,163	0,152	-0,017	0,084	0,154	0,154	0,022	0,022	0,870*	0,144	0,000			
MA	0,560*	0,703*	0,180*	0,253	0,280*	0,234	0,266*	-0,028	0,250	0,230*	0,235*	0,320	0,220	0,220	0,812*	0,313	0,082	0,000		
PI	0,552*	0,709*	0,006	-0,037	0,310	0,054	0,281	0,318	-0,041	0,224	0,385	NA	NA	NA	0,905*	NA	0,022	0,220	0,000	
SJM	0,597*	0,748*	0,071	0,028	0,385	0,111	0,362	0,396	0,017	0,295	0,448	0,010	-0,075	-0,075	0,912*	0,005	0,074	0,291	-0,08	0,000

* bold values mean significant differentiation after the Bonferroni correction (adjusted $P = 0,000263$)